Super-Kamiokande検出器における 低エネルギー事象の エネルギースケール評価



2018年3月22日(木) 日本物理学会 第73回年次大会 @東京理科大 野田キャンパス



東大宇宙線研, 神戸大理^A, 清華大^B 中野 佑樹, 長谷川誠^A, 中島康博, Linyan Wan^B 他 Super-Kamiokande Collaboration



若手研究 (B) 17K17880, 研究代表者: 中野 佑樹

「太陽ニュートリノの観測時刻情報を用いた太陽g-mode振動の探索」

内容

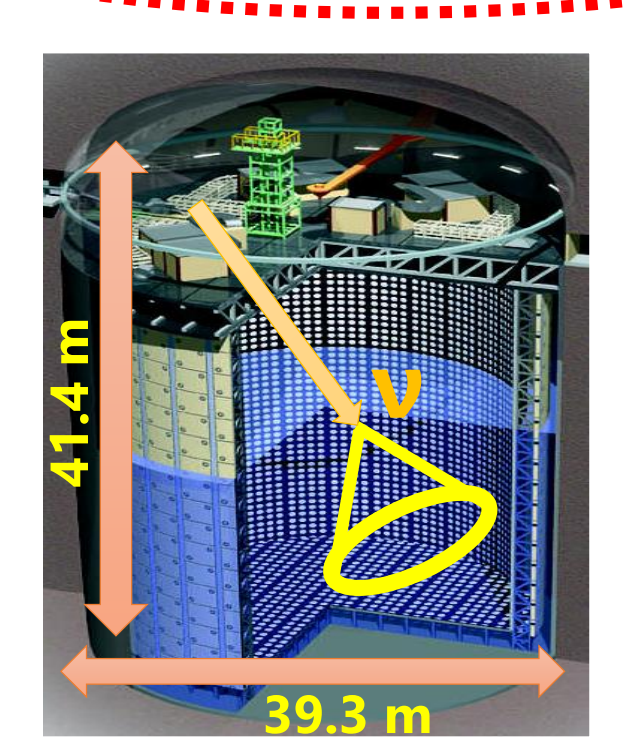
- 本研究の背景
- 低エネルギー領域における検出器の応答
 - 有効Hit数の定義
 - 1 p.e.分布の理解, PMT gainに関して
 - PMT gain変動による影響
- 本研究による改良
- まとめと今後

本研究の背景 (1)

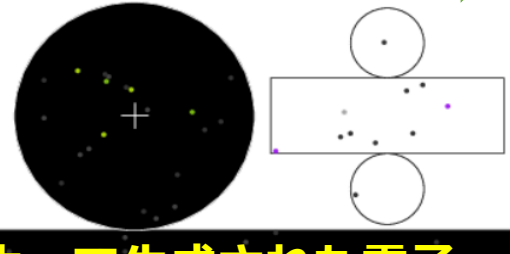
- Super-Kamiokande
 - SK検出器: 広いエネルギー領域に観測対象(物理ターゲット).
 - 低エネルギー事象: 太陽ニュートリノ, 超新星ニュートリノ.

・ 太陽二ユートリノ ・ 3.5-19.5 MeV 超新星ニュートリン・ 20~100 MeV

大気二ュートリノ, 陽子崩壊 ~100 MeV GeV TeV PeV

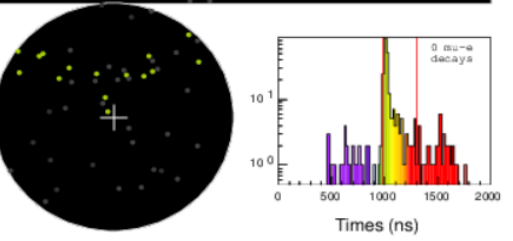


典型的な事象 ~30 MeV 220~250 hits





色: Timing



本研究の背景 (2)

■ 今後目指してゆく物理

Sov. J. Nucl. Phys. 42, 913 (1985). Phys. Rev. D 17, 2369 (1978).

- 太陽ニュートリノの物質効果 (MSW効果).
- 太陽活動と相関のあるニュートリノの周期的な変動の探索.
 - → 太陽g-mode振動, 太陽表面の黒点数 (右巻ニュートリノ).
- 超新星爆発由来のニュートリノ (バースト, 背景).
- 物理を達成するために必要なこと
 - 観測事象の再構成の精度 (反応位置, 方向, エネルギー).
 - バックグラウンドの理解。
 - 上記の項目の安定性の理解.

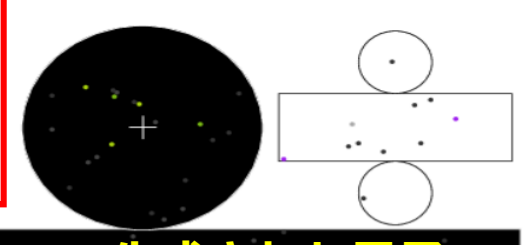
本研究では、検出器の応答、特にエネルギースケールの評価を行った.

低エネルギー領域における検出器の応答

- 低エネルギー事象の特徴 (100 MeV以下)
 - SKのPMT(11,129本)の内, 5%未満しか検出しない程度の光量.
 - → 検出器の光電面: ~40%, PMTの量子効率: ~20%.
 - → 太陽ニュートリノ(8B): 100本未満.
 - 1本のPMTに対して, 1光電子の検出.

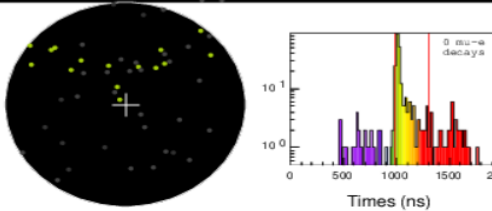
- ■エネルギースケールの評価
 - エネルギーはヒット数に比例.
 - PMTの1 p.e.分布の理解.
 - → ここを調べる必要がある.

典型的な事象 ~30 MeV 220~250 hits





色: Timing

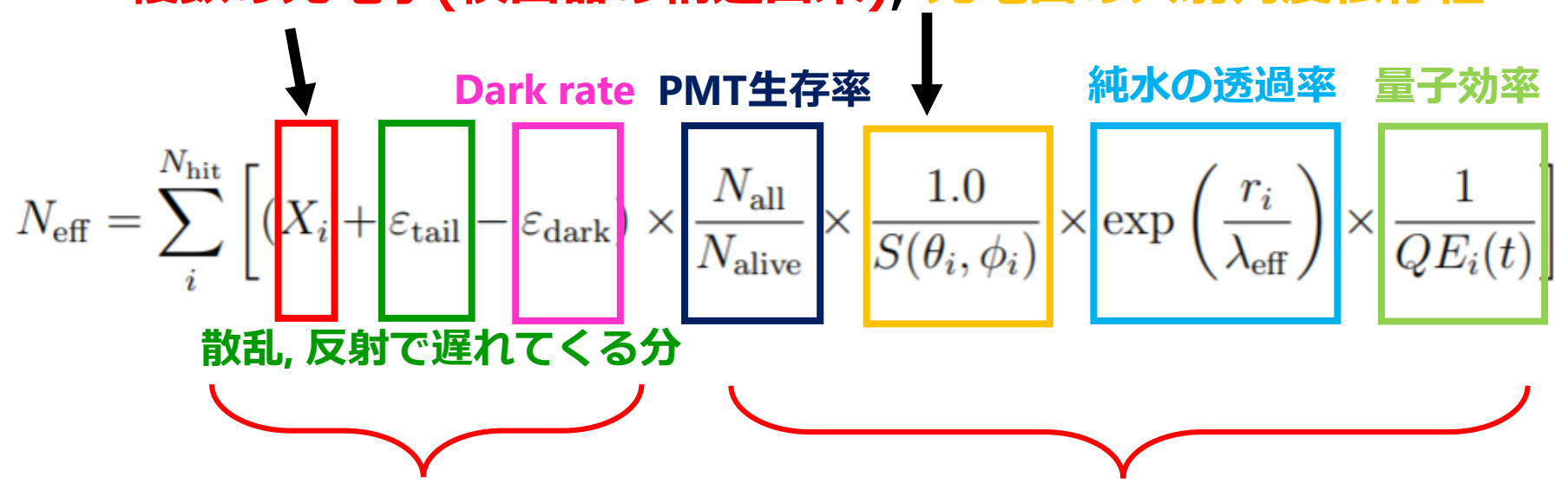


SKにおける有効Hit数の定義

■ 有効ヒット数

Phys. Rev. D 83, 052010 (2011).

- 50 nsecのtime-window中でのHit数.
- ただし, 単にHit数を数える訳ではなく, 各種補正が必要.
- → 複数の光電子(検出器の構造由来), 光電面の入射角度依存性…



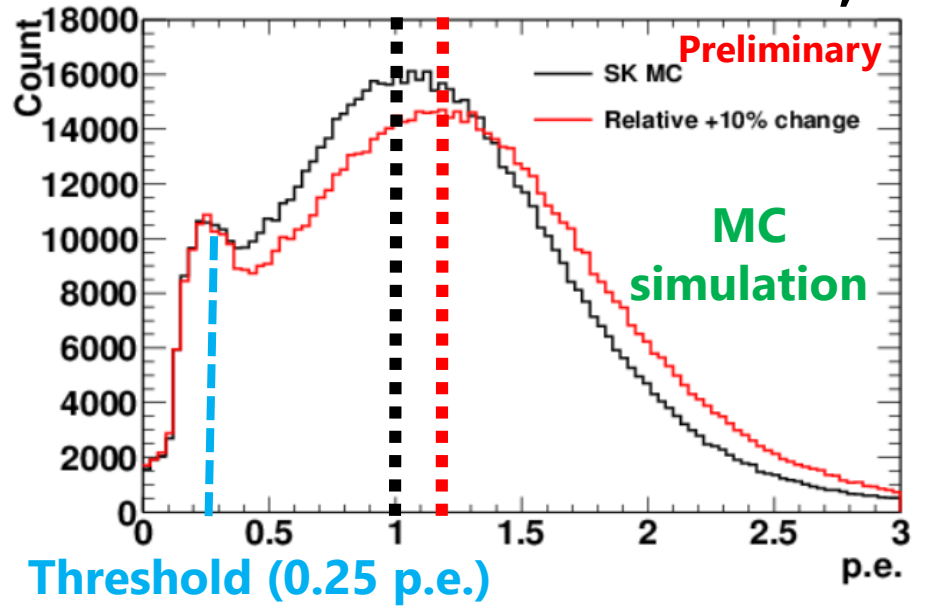
Hitとして数えられる部分

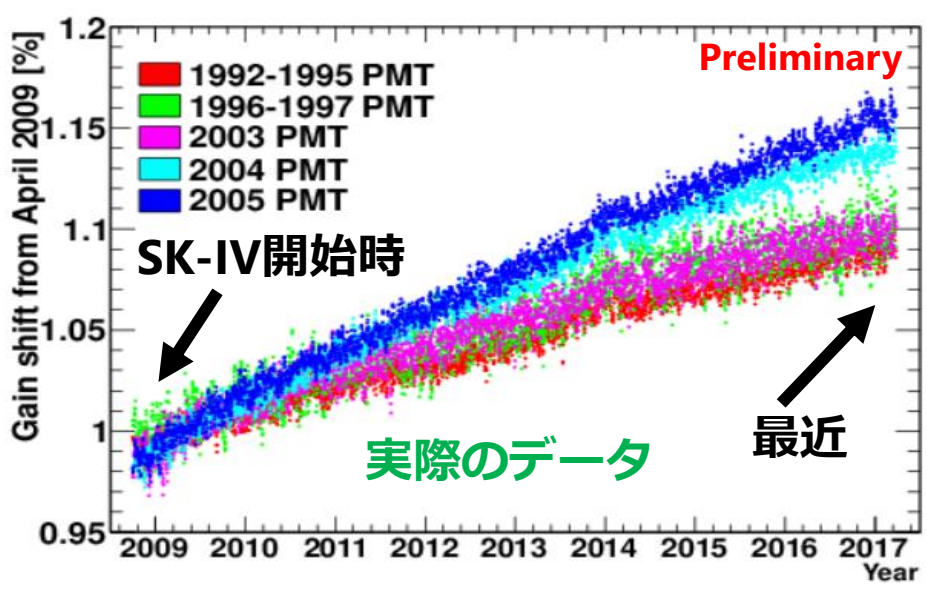
各種補正

PMTの1 p.e.分布

■ 1 p.e.分布の決定

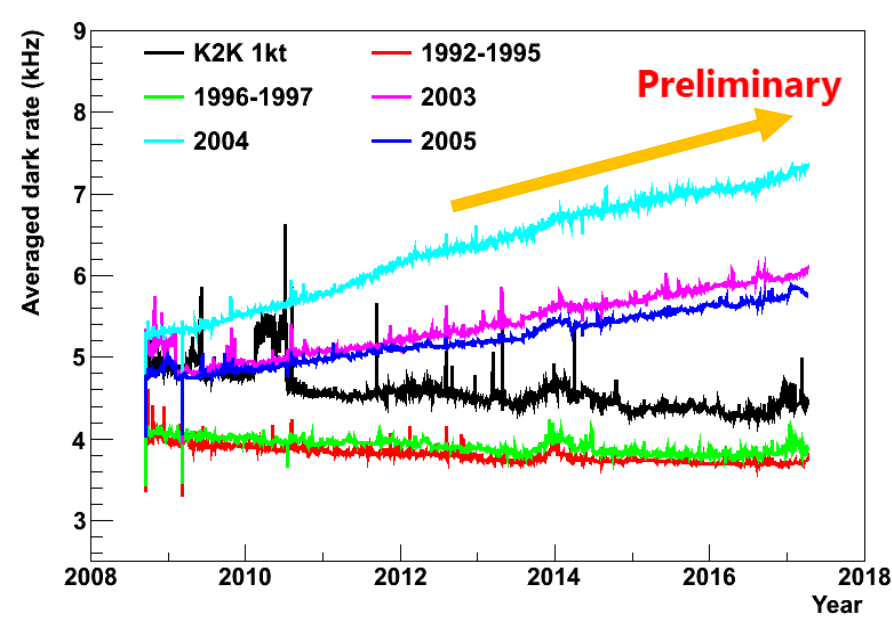
- Nucl. Instrum. Meth. A 737, 253 (2014).
- -Ni-Cf calibration sourceを用い, 検出器全体で平均 (SK-III).
 - → SKで利用されているMC simulationに導入.
- 現実のデータ
 - Off-timingでのDark rateから1 p.e.をモニター.
 - → 年度とともに, ピークの位置がシフト (相対的なGain変動).
 - → PMTの製造年度によって、Gainの変化率が異なる (年~2%).

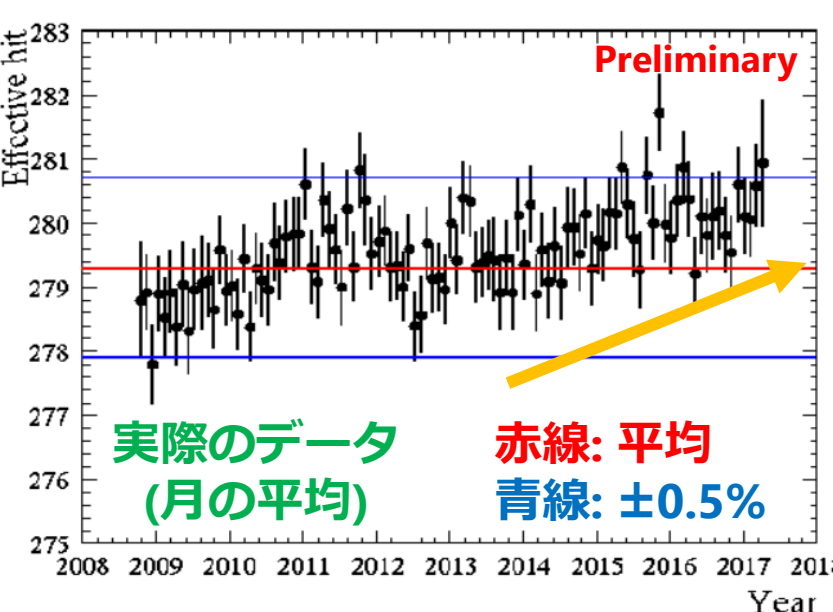




PMT gain変動による影響

- Dark rateの増加
 - 前ページ, 1 p.e.分布の内 thresholdを超える割合が増加.
 - Dark rateが経年増加?
 - → 有効Hit数を計算するときに,
 意図せず加算されてしまう?
- 観測データへの影響
 - 宇宙線µ由来の電子.
 - → エネルギースケールのモニター.
 - 普段±0.5%未満のふらつき.
 - 最近だけ見ると, 増加している?





PMT gain/Dark rateの補正

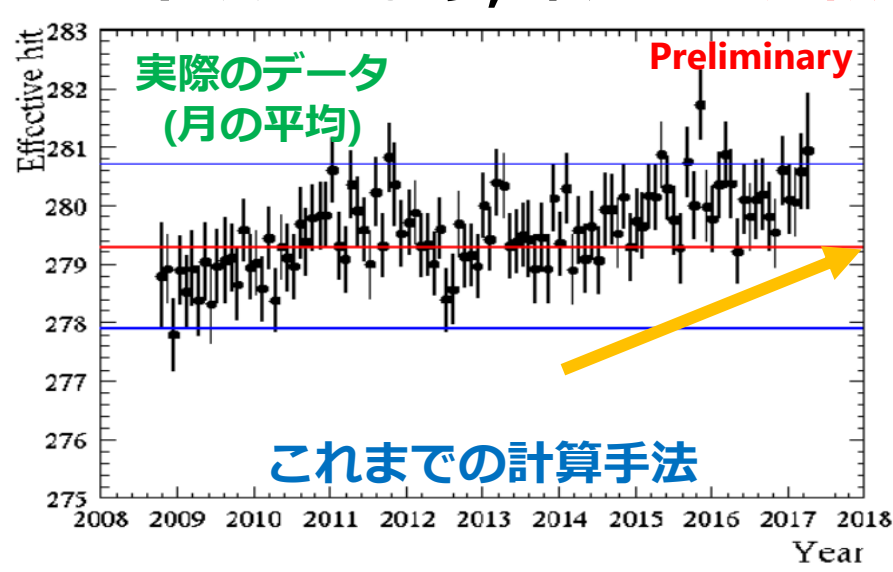
- 有効ヒット数の計算手法の改良
 - PMT 1本1本に対して, Gain補正, Dark rateを考慮.

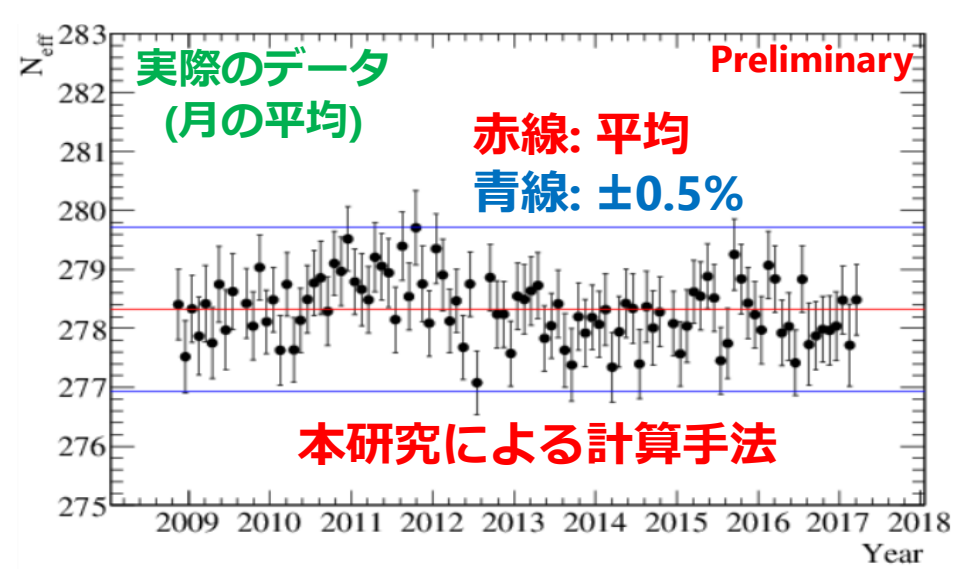
$$N_{\rm eff} = \sum_{i}^{N_{\rm hit}} \left[\left(X_i + \varepsilon_{\rm tail} - \varepsilon_{\rm dark} \right) \times \frac{N_{\rm all}}{N_{\rm alive}} \times \frac{1.0}{S(\theta_i, \phi_i)} \times \exp\left(\frac{r_i}{\lambda_{\rm eff}}\right) \times \frac{1}{QE_i(t)} \right]$$

- Xi: (これまで) 各PMTが均一だとして, 算出.
 - → 各PMTのGainを考慮 (相対的なGain変動).
- εdark: (これまで) 検出器の全PMTを平均したDark rate.
 - → 実際にHitしたPMT1本1本に対するDark rate.
- 透過率: PMT gainの増加と透過率の増加は区別が難しい.
 これまでGainの増加分を全て透過率に押し付けていた.
 - → こちらも修正を行った (backup).

本研究による結果と今後

- 宇宙線µ由来の電子によるエネルギースケール
 - 同じデータサンプルを用い, 2種類の有効Hit数の計算手法を比較.
 - 本研究により、最近の増加傾向は改善された。





■ 今後の進展

- 今回, 観測データから有効Hit数の計算手法を改良した.
 - → MC simulationに導入, 及び観測データとの比較を進めている.
- 他のCalibration sourceを用い, エネルギースケール評価を進める.

まとめと今後

- SK検出器における低エネルギー領域の物理に関して, 高いエネルギー精度と安定性が要求される。
- 低エネルギー領域では、PMTが1光電子を検出.
 - → 1 p.e.分布の時期的な変動を調べた.
 - 相対的なGainの変動, Dark rateの増加がみられた。
 - 同時に宇宙線µ由来の電子の有効Hit数も増加していた.
- 各PMTの対して、PMT gain/Dark rateを考慮することにより、 有効Hit数の計算手法を改良した。
- 宇宙線µ由来の電子の観測データは,有効Hit数に改善が見られた.
- 今後は,他Calibrationによる理解を深める.